

بِسْمِ اللَّهِ الرَّحْمَنِ الرَّحِيمِ



دانشکده مهندسی برق و کامپیوتر
گروه برق-قدرت

پایان نامه
برای دریافت درجه کارشناسی ارشد در رشته برق-قدرت

عنوان
طراحی و مدلسازی یک مبدل Buck-Boost AC/DC با ضریب
توان ورودی بالا

استاد راهنما
دکتر سید حسین حسینی

استاد مشاور
مهندس سعید قاسمزاده

پژوهشگر
زهیر هوشی
۸۳۴۳۱۳۰۱۷۸

شهریور ۸۶

۹۳۱۴۷

تقدیم ہے

پدرم کو چون سرہ استوانکیہ کام

مادرم کو چون یعنی روح نواز ارامش بزم

و خواهرم کو چون تمارہ ادھار پر مہمت

ونبہ دگان خدا کارنی

کہ می دا نم صدماں ارامی شنوی

پس می کو یہم برائیت

...

باشکر از استمادان فرزانه دکتر سید حسین ییمنی و مهندس سید قاسم زاده
که از راهنمایی های کران گنگ و مشاوره های بی دینه ایشان بحسره بسیار بود

| | |
|---|--|
| نام خانوادگی: هوشی دقتی فومنی | نام: زهیر |
| عنوان پایان نامه: طراحی و مدلسازی یک مبدل Buck-Boost AC/DC با ضریب توان ورودی بالا | |
| استاد راهنما: دکتر سید حسین حسینی | |
| استاد مشاور: مهندس سعید قاسمزاده | |
| مقطع تحصیلی: کارشناسی ارشد | دانشگاه: تبریز |
| دانشگاه: تبریز | گرایش: قدرت |
| تعداد صفحه: ۹۹ | رشته: برق |
| | تاریخ فارغ التحصیلی: ۲۴ شهریور ۱۳۸۶ |
| | دانشکده: مهندسی برق و کامپیوتر |
| | کلید واژه‌ها: مبدل متناوب به مستقیم، کاهنده- افزاینده، بدون حسگر |
| چکیده: | |
| در استفاده از مبدل‌های ac-dc یکی از پارامترهای مورد توجه، ضریب توان در ورودی است. که هرچه مقدار ضریب توان بزرگتر و بیشتر به ۱ نزدیک باشد، مبدل مورد نظر شرایط کاری ایده‌آل‌تری دارد. در این راستا مدارات الکترونیک قدرت متعددی برای برآورده شدن این منظور طراحی و ارائه شده‌اند. معمول آن است که از مدارات برای مبدل‌های با قابلیت تصحیح ضریب توان (PFC) استفاده شود که این امر موجب محدود شدن ولتاژ خروجی به مقداری بیشتر از پیک ولتاژ ورودی می‌شود. برای افزایش محدوده ولتاژ خروجی مبدل‌های Buck-Boost مورد توجه قرار گرفته‌اند. از طرفی، از نکات عملی و مهم در طراحی و ساخت مدارات الکترونیک قدرت تعداد حسگرهای ولتاژ و جریانی است که در آنها به کار رفته‌است. در زمینه طراحی مدارات PFC در راستای حذف حسگرهای نیز گامهایی برداشته شده‌است و نتایج نسبتاً قابل قبولی هم برای مبدل‌های Boost بدست آمده‌اند. ولی در مورد مبدل‌های Buck-Boost جای کار در این زمینه همچنان باقی است. هدف ما در این پایان‌نامه این است که یک مدار مبدل ac-dc طراحی و مدلسازی کنیم که در شرایط Buck-Boost کار کند و قابلیت اصلاح ضریب توان را داشته باشد. سیستم کنترلی این مدار بی‌نیاز از حسگرهای متعارف ولتاژ و جریان است و در فرکانس کلیدزنی کم هم عملکرد مطلوبی دارد. نتایج حاصله از طراحی مدار قدرت و کنترل در طی چندین شبیه‌سازی به کمک نرم افزار آزمایش شده‌اند و قابلیتهای مدار در شرایط مختلف از جمله فرکانس ورودی مختلف، مقادیر متغیر بار و غیره نشان داده شده‌اند. نتایج حاصل از شبیه‌سازی‌ها از طریق ساخت یک نمونه آزمایشگاهی هم به تأیید رسیده‌اند. | |

فهرست مطالب:

| | |
|---|----------------|
| ۳ | فهرست شکل‌ها |
| ۵ | فهرست جداول‌ها |
| ۶ | فهرست اختصارات |
| ۷ | مقدمه |

بخش ۱: بررسی منابع

فصل اول: اساس کار چاپرهای افزاینده و کاهنده

| | |
|----|-------------------------------------|
| ۱۰ | ۱-۱: اصول کارکرد یک چاپر کاهنده |
| ۱۲ | ۱-۲: اصول کارکرد یک چاپر افزاینده |
| ۱۳ | ۱-۳: چند نمونه چاپر کاهنده-افزاینده |
| ۱۴ | ۱-۳-۱: چاپر کاهنده-افزاینده |
| ۱۶ | ۱-۳-۲: چاپر Cuk |
| ۱۷ | ۱-۴: طراحی چاپر کاهنده-افزاینده |

فصل دوم: مبدل‌های متناوب به مستقیم و مسأله ضریب توان

| | |
|----|--|
| ۲۲ | ۲-۱: مبدل‌های متناوب به مستقیم و ضریب توان |
| ۲۲ | ۲-۲: پیشینه تحقیق |
| ۲۲ | ۲-۲-۱: انتخاب نوع ورودی، تکفار یا سه فاز |
| ۲۳ | ۲-۲-۲: مبدل‌های سه فاز |
| ۲۸ | ۲-۲-۳: مبدل‌های تکفار |
| ۳۳ | ۲-۳: تحلیل خواص و رفتار یک مبدل |
| ۳۴ | ۲-۳-۱: پارامترهای مشخصه |
| ۳۵ | ۲-۳-۲: انتظارات از یک مبدل |

بخش ۲: مواد و روش‌ها

فصل سوم: ارائه مدار پیشنهادی

| | |
|----|---|
| ۳۹ | ۳-۱: ارائه ساختار dc-dc جدید |
| ۴۱ | ۳-۲: مبدل ارائه شده و نقش حسگرها |
| ۴۲ | ۳-۳: تحلیل کارکرد افزاینده |
| ۴۴ | ۳-۴: تحلیل کارکرد کاهنده |
| ۴۷ | ۳-۵: محدودیت‌های حاکم بر انتخاب ضریب بهره |
| ۴۸ | ۳-۶: اغتشاشات جریان ورودی در گذر از صفر |
| ۴۸ | ۳-۷: حصول ضریب توانهای مختلف |
| ۴۹ | ۳-۸: سایر قابلیتهای مدار ارائه شده |

بخش ۳: نتایج و بحث

فصل چهارم: شبیه‌سازی و نتایج آن

| | |
|----|---|
| ۵۱ | ۴-۱: لزوم شبیه‌سازی |
| ۵۲ | ۴-۲: مدار ارائه شده در PSCAD |
| ۵۷ | ۴-۳: بهینه سازی مدار |
| ۶۱ | ۴-۴: عملکرد مدار در برابر تغییرات بار |
| ۶۳ | ۴-۵: کارآیی مدار در فرکانس‌های کلیدزنی مختلف |
| ۶۴ | ۴-۶: عملکرد مدار در ضریب بهره‌های مختلف |
| ۶۶ | ۴-۷: عملکرد مدار برای ورودی با فرکانس بالاتر از ۵۰ هرتز |
| ۶۸ | ۴-۸: عملکرد مدار برای ارائه ضریب توانهای مختلف در ورودی |

فصل پنجم: نتایج عملی

| | |
|----|---------------------------------|
| ۷۰ | ۵-۱: نمونه آزمایشگاهی ساخته شده |
|----|---------------------------------|

ضمایم

| | |
|----|---|
| ۷۵ | ضمیمه ۱: اثبات لم |
| ۷۷ | ضمیمه ۲: روش بهینه‌سازی نسبت طلایی |
| ۷۹ | ضمیمه ۳: نتایج تفصیلی شبیه‌سازیها |
| ۹۳ | ضمیمه ۴: اطلاعات عناصر بکار رفته در ساخت مدار |

فهرست منابع

فهرست شکل‌ها

| | | |
|----|---|----------|
| ۱۰ | چاپر کاهنده ساده | شکل ۱-۱ |
| ۱۱ | ساختار چاپر کاهنده به هنگام خاموش و روشن بودن کلید | شکل ۲-۱ |
| ۱۲ | ساختار یک چاپر افزاینده | شکل ۳-۱ |
| ۱۳ | ساختار چاپر افزاینده به هنگام خاموش و روشن بودن کلید | شکل ۴-۱ |
| ۱۴ | ساختار چاپر کاهنده- افزاینده | شکل ۵-۱ |
| ۱۵ | ساختار چاپر کاهنده- افزاینده به هنگام خاموش و روشن بودن کلید | شکل ۶-۱ |
| ۱۶ | اختار چاپر Cuk | شکل ۷-۱ |
| ۱۷ | ساختار چاپر Cuk و شکل موجه‌ای مربوطه به هنگام روشن و خاموش بودن کلیدها | شکل ۸-۱ |
| ۱۸ | نمودار بلوکی سری سازی یک چاپر کاهنده و یک چاپر افزاینده معکوس | شکل ۹-۱ |
| ۱۸ | بلوکهای اصلی تشکیل دهنده چاپر کاهنده- افزاینده | شکل ۱۰-۱ |
| ۲۰ | روال سری سازی یک چاپر کاهنده و یک افزاینده برای حصول یک چاپر کاهنده- افزاینده | شکل ۱۱-۱ |
| ۲۲ | نمودار بلوکی مبدل متناوب به مستقیم بر اساس چاپر dc-dc | شکل ۱-۲ |
| ۲۴ | مبدل کاهنده- افزاینده سه فاز ۶ کلیده | شکل ۲-۲ |
| ۲۵ | مدار کنترلی با ۴ حسگر مربوط به یک فاز شکل ۲-۲ | شکل ۳-۲ |
| ۲۵ | مبدل سه فاز با ۶ کلید و ۴ حسگر | شکل ۴-۲ |
| ۲۶ | مبدل متناوب به مستقیم سه فاز ۴ کلیده با خروجی معکوس | شکل ۵-۲ |
| ۲۷ | مبدل متناوب به مستقیم سه فاز ۶ کلیده با خروجی معکوس | شکل ۶-۲ |
| ۲۸ | ترکیب یک ساختار کاهنده با افزاینده | شکل ۷-۲ |
| ۲۸ | ترکیب یک ساختار افزاینده با کاهنده | شکل ۸-۲ |
| ۲۹ | چند ساختار مختلف حاصل از ترکیب مدار کاهنده و مدار افزاینده | شکل ۹-۲ |
| ۳۰ | ساختار کاهنده- افزاینده سری CBB | شکل ۱۰-۲ |
| ۳۱ | مدار کنترلی مربوط به CBB | شکل ۱۱-۲ |
| ۳۲ | ساختار BoIBB | شکل ۱۲-۲ |
| ۳۲ | ساختار کاهنده- افزاینده تکفاز با ۲ کلید و ۲ حسگر | شکل ۱۳-۲ |
| ۳۳ | ساختار مبدل تکفاز با ۲ کلید مستقل | شکل ۱۴-۲ |
| ۳۹ | ساختار چاپر کاهنده- افزاینده جدید ارائه شده | شکل ۱-۳ |
| ۳۹ | ساختار چاپر ارائه شده به هنگام کارکرد افزاینده | شکل ۲-۳ |
| ۴۰ | ساختار چاپر ارائه شده به هنگام کارکرد کاهنده | شکل ۳-۳ |
| ۴۱ | استفاده از چاپر جدید در یک مبدل متناوب به مستقیم | شکل ۴-۳ |

| | | |
|----|--|------------|
| ۴۲ | مدار ساده شده مبدل ارائه شده در کارکرد افزاینده | شکل ۳ - ۳ |
| ۴۵ | مدار ساده شده مبدل ارائه شده در کارکرد کاهنده | شکل ۳ - ۶ |
| ۵۳ | مدار ترسیم شده در محیط PSCAD | شکل ۱ - ۴ |
| ۵۳ | نمودار بلوکی کنترل کننده در مُد افزاینده | شکل ۲ - ۴ |
| ۵۴ | نمودار بلوکی کنترل کننده در مُد کاهنده | شکل ۳ - ۴ |
| ۵۵ | عملکرد مدار ارائه شده در ضریب بهره $2/5$ افزاینده | شکل ۴ - ۴ |
| ۵۶ | عملکرد مدار ارائه شده در ضریب بهره $0/7$ کاهنده | شکل ۵ - ۴ |
| ۵۷ | مؤلفه‌های هارمونیکی جریان ورودی در مدار ابتدایی | شکل ۶ - ۴ |
| ۵۹ | عملکرد مدار بهینه در ضریب بهره $2/5$ افزاینده | شکل ۷ - ۴ |
| ۶۰ | عملکرد مدار بهینه در ضریب بهره $0/7$ کاهنده | شکل ۸ - ۴ |
| ۶۱ | مؤلفه‌های هارمونیکی جریان ورودی در مدار بهینه | شکل ۹ - ۴ |
| ۶۲ | توابع چگالی احتمال مشخصات مدار برای بار متغیر بدون تغییر کنترل | شکل ۱۰ - ۴ |
| ۶۳ | توابع چگالی احتمال مشخصات مدار برای بار متغیر با تغییر کنترل | شکل ۱۱ - ۴ |
| ۶۴ | توابع چگالی احتمال مشخصات مدار برای فرکانس کلیدزنی متغیر | شکل ۱۲ - ۴ |
| ۶۵ | توابع چگالی احتمال مشخصات مدار برای ضریب بهره متغیر افزاینده | شکل ۱۳ - ۴ |
| ۶۶ | توابع چگالی احتمال مشخصات مدار برای ضریب بهره متغیر کاهنده | شکل ۱۴ - ۴ |
| ۶۷ | جریان ورودی و افتباشات گذر از صفر | شکل ۱۵ - ۴ |
| ۶۷ | عملکرد مدار ارائه شده در ضریب بهره $1/8$ و فرکانس ورودی 360 هرتز | شکل ۱۶ - ۴ |
| ۷۱ | نتایج عملی در مُد افزاینده | شکل ۱ - ۵ |
| ۷۲ | نتایج عملی در مُد کاهنده | شکل ۲ - ۵ |
| ۷۳ | نمونه عملی ساخته شده | شکل ۳ - ۵ |

فهرست جدول‌ها

| | | |
|----|--|------------|
| ۵۲ | مقادیر ابتدایی پارامترهای مدار | جدول ۴ - ۱ |
| ۵۸ | مقادیر بهینه سلفها و خازن | جدول ۴ - ۲ |
| ۶۱ | نحوه پراکندگی مقادیر مشخصات شبیه‌سازی‌های چندباره برای بار متغیر بدون تغییر کنترل | جدول ۴ - ۳ |
| ۶۲ | نحوه پراکندگی مقادیر مشخصات شبیه‌سازی‌های چندباره برای بار متغیر با تغییر کنترل | جدول ۴ - ۴ |
| ۶۳ | نحوه پراکندگی مقادیر مشخصات شبیه‌سازی‌های چندباره برای فرکانس کلیدزنی متغیر | جدول ۴ - ۵ |
| ۶۴ | نحوه پراکندگی مقادیر مشخصات شبیه‌سازی‌های چندباره برای ضربی بهره متغیر افزاینده | جدول ۴ - ۶ |
| ۶۵ | نحوه پراکندگی مقادیر مشخصات شبیه‌سازی‌های چندباره برای ضربی بهره متغیر کاهنده | جدول ۴ - ۷ |
| ۶۷ | مشخصات مدار در ضربی بهره $1/8$ و فرکانس ورودی ۳۶۰ هرتز | جدول ۴ - ۸ |
| ۷۰ | مشخصات نمونه عملی | جدول ۵ - ۱ |

فهرست اختصارات:

| | |
|-------|---|
| AC | Alternating Current |
| BB | Buck Boost |
| BoCBB | Boost Cascaded By Buck |
| BoIBB | Boost Interleaved Buck Boost |
| BoSBB | Boost Superimposed Buck Boost |
| BuCBB | Buck Cascaded By Boost |
| BuIBB | Buck Interleaved Buck Boost |
| BuSBB | Buck Superimposed Buck Boost |
| CBB | Cascaded Buck Boost |
| CCM | Continues Conduction Mode |
| DC | Direct Current |
| DF | Distortion Factor |
| Dis.F | Displacement Factor |
| EMTDC | Electromagnetic Transients Including DC |
| IEEE | Institute of Electrical and Electronics Engineers |
| PD | Phase Difference |
| PF | Power Factor |
| PSCAD | Power System CAD |
| PWM | Pulse Width Modulation |
| THD | Total Harmonic Distortion |
| VR | Voltage Regulation |

مقدمه:

استفاده از مبدل‌های ولتاژ متناوب به ولتاژ مستقیم در شبکه‌های انتقال، توزیع و یا مصرف یکی از منابع عمدۀ تزریق آلودگی‌های هارمونیکی و کاهش کیفیت توان انتقالی است. علت عمدۀ این اثرگذاری از آنجا ناشی می‌شود که در اثر کارکرد این مبدلها اختلاف فازی بین جریان و ولتاژ ورودی این مبدلها که با شبکه متناوب در تماس مستقیم است ایجاد می‌گردد. از این رو قسمت عمدۀ ای از توجه و علاقه مندی طراحان مدارات الکترونیک قدرت و سیستمهای کنترلی که در چنین مداراتی کاربرد دارند به سمت ارائه مبدل‌هایی معطوف می‌گردد که دارای قابلیت اصلاح ضربی توان باشند. در این صورت می‌توان انتظار داشت که اگر چنین مبدلی از عملکرد هارمونیکی مطلوبی نیز برخوردار باشد در نهایت تبدیل به یک مصرف کننده ایده‌آل برای شبکه ولتاژ متناوب گردد.

آنچه در پایان نامه پیش رو به آن خواهیم پرداخت گامی است برای معرفی ساختاری جدید در مبدل‌های ولتاژ متناوب به مستقیم الکترونیک قدرت که به دلیل پاره‌ای ویژگیها از جمله بی‌نیازی از حسگرهای ولتاژ و جریان می‌تواند گزینه‌ای مناسب برای چنین کاربردهایی باشد. برای اینکه اساس کارکرد این مدار و سیستم کنترلی آن که بر پایه محاسبات ریاضی دقیق بنا شده است بطور کامل و با زیر بنای علمی بیان شود ساختار این پایان نامه چنان چیده شده است که اهم‌پیش نیازهای علمی برای درک کارکرد مدار پیشنهادی را در بر دارد.

در این پایان نامه ابتدا به توضیح اساس کارکرد چاپرهای افزاینده و یا کاهنده می‌پردازیم و از آنجا که در ساختار پیشنهادی برای اینکه محدوده وسیعی از ولتاژ خروجی را در اختیار داشته باشیم عملکرد کاهنده-افزاینده را مورد توجه قرار داده ایم، چند نمونه از مدارات متعارف کاهنده-افزاینده و چگونگی عملکردشان را به ایجاز ذکر خواهیم کرد. در ادامه چند مدار مبدل که تا کنون در مجلات و مقالات علمی ارائه شده اند را مطرح می‌کنیم و به مزایا و معایب هر کدام می‌پردازیم. به اهداف پیش روی یک طرح برای حمله به چنین مسائل‌ای می‌پردازیم و تمرکز خود را روی چندی از این اهداف می‌گذاریم تا در ادامه، اهداف کار خود را به وضوح پیش رو داشته باشیم. با در نظر داشتن چنین پیش

زمینه‌هایی مدار پیشنهادی در فصل ۳ ارائه خواهد شد و آشنایی لازم با ساختار آن و چگونگی کارکرد سیستم کنترلی آن حاصل خواهد گردید تا در فصل ۴ به شبیه‌سازی این مبدل بپردازیم. نتایج شبیه‌سازی در همین بخش عنوان خواهند شد و در فصل ۵ با نتایج حاصل از مدار عملی ساخته شده مقایسه خواهند گردید. در فصل آخر و پس از ارائه نتایج مدار عملی به نتیجه‌گیری از کارهای صورت گرفته و ذکر افق‌های پیش روی چنین تحقیقاتی می‌پردازیم.

بخش ۱:

بررسی منابع

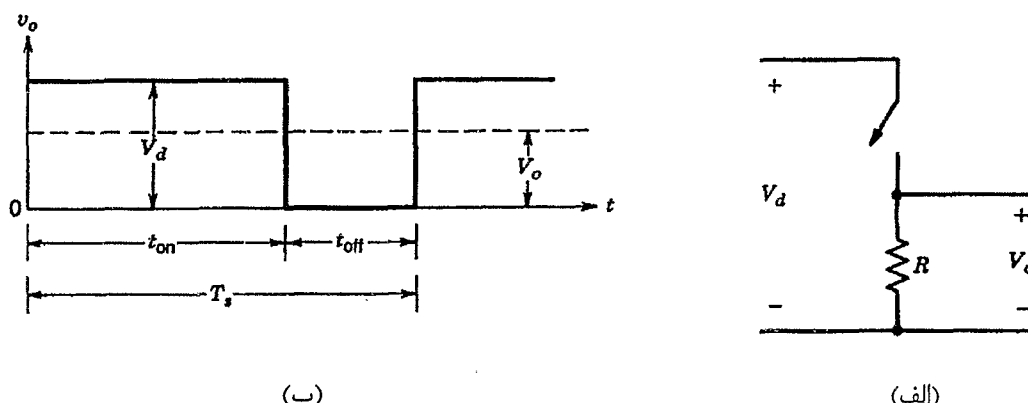
فصل اول:

اسس کار پایه‌ای افزاینده و کاهنده

در این فصل به اصول کارکرد مدارهای چاپر افزاینده^۱ و مدارهای چاپر کاهنده^۲ می‌پردازیم. چند نمونه مدار چاپر کاهنده-افزاینده^۳ نیز عنوان خواهند شد تا آشنایی ذهنی لازم برای معرفی مدار پیشنهادی که عملکرد کاهنده-افزاینده دارد ایجاد شود.

۱-۱: اصول کارکرد یک چاپر کاهنده

در شکل ۱-۱ ساده ترین ساختار یک چاپر کاهنده نشان داده شده است. [۱]



شکل ۱-۱: چاپر کاهنده ساده (الف) ساختار (ب) شکل ولتاژ خروجی [۱]

مقدار ولتاژ خروجی این مدار به واسطه نحوه کلیدزنی کلید موجود در آن قابل کنترل است. شکل

مدار به هنگام روشن یا خاموش بودن کلید، نشان داده شده در شکل ۱-۲، روشنگر نحوه ارتباط

کلیدزنی با ولتاژ خروجی است.

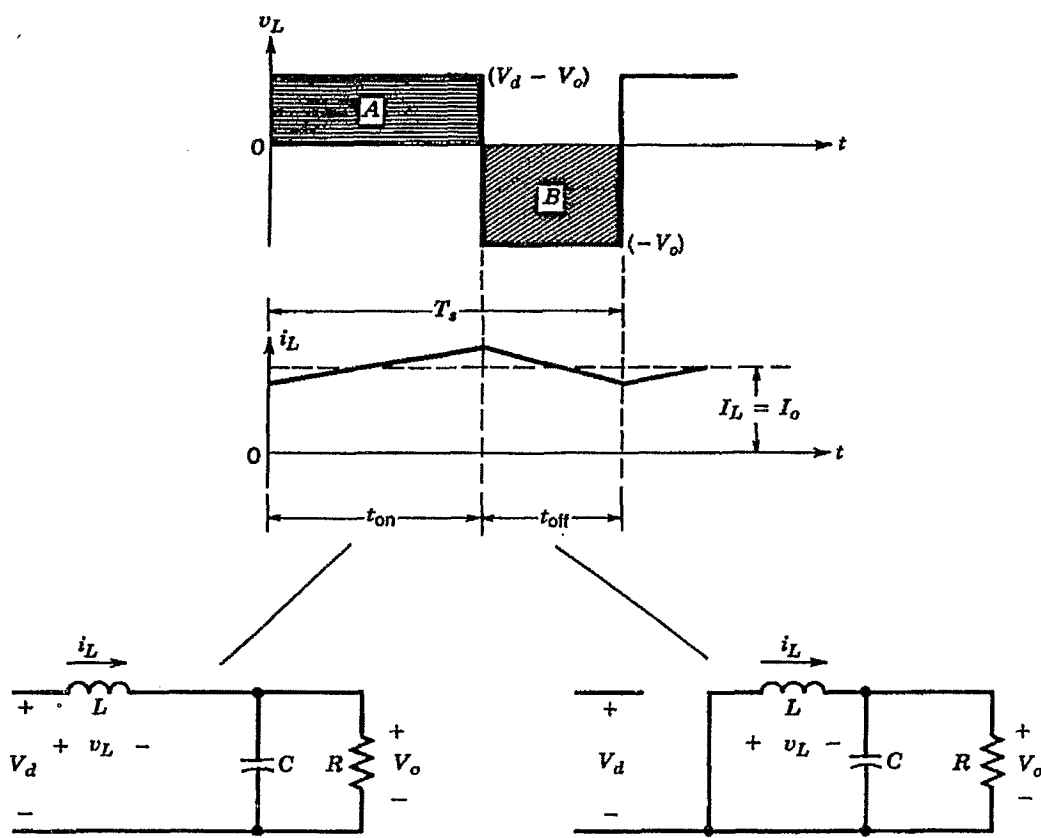
مقدار متوسط ولتاژ خروجی از رابطه (۱-۱) بدست می‌آید:

$$V_o = \frac{1}{T_s} \int_0^{t_{on}} v_o dt = \frac{t_{on}}{T_s} V_d = D V_d \quad (1-1)$$

^۱ Boost

^۲ Buck

^۳ Buck-Boost



شکل ۱-۲: ساختار چاپر کاهنده به هنگام خاموش و روشن بودن کلید [۱]

سیکل کاری^۱ D می‌تواند از ۰ تا ۱ تغییر کند. بنابراین ولتاژ خروجی مابین ۰ تا ۴ V قابل کنترل

است. تغییر D به دو روش عمدۀ صورت می‌پذیرد: [۲]

۱. روش فرکانس ثابت: فرکانس چاپر ثابت نگه داشته می‌شود و زمان روشن بودن کلید تغییر

داده می‌شود. پهنهای پالس در این روش تغییر می‌کند. این نوع کنترل، کنترل مدولاسیون پهنهای

پالس^۲ (PWM) نام دارد.

۲. روش فرکانس متغیر: فرکانس چاپر متغیر است. زمان روشن بودن یا زمان خاموش بودن کلید

ثابت نگاه داشته می‌شود. این روش مدولاسیون فرکانس نامیده می‌شود. فرکانس باید در محدوده

وسیعی تغییر یابد تا بازه کاملی از ولتاژ خروجی را داشته باشیم. در این نوع کنترل هارمونیکهایی

با فرکانس‌های غیرقابل پیش بینی تولید خواهد شد و طراحی فیلتر آن دشوار است. [۲]

^۱ Duty Cycle

^۲ Pulse Width Modulation

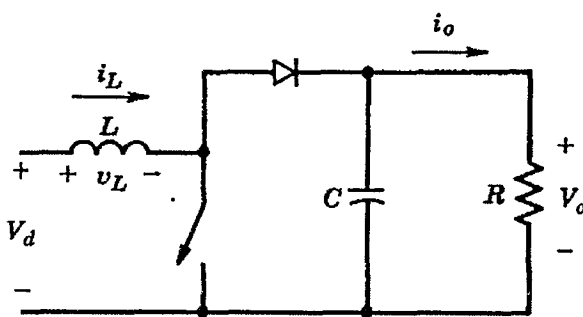
با توجه به آنچه ذکر شد برای طراحی مدار قدرت و کنترل همانگونه که رایج است از کنترول

مدولاسیون پهنهای پالس بهره خواهیم جست.

۱-۲: اصول کار کرد یک چاپر افزاینده

شکل ۱-۳ ساختار ساده‌ای از یک چاپر افزاینده را ارائه می‌دهد. همانگونه که در شکل پیداست

این ساختار در واقع حالت عکس ساختار چاپر کاهنده را دارد که در آن جای ورودی و خروجی جابجا شده‌اند.



شکل ۱-۳: ساختار یک چاپر افزاینده [۱]

به واسطه کلیدزنی کنترل شده می‌توان مقدار ولتاژ خروجی را در حد مطلوب تنظیم کرد. در

شکل ۱-۴ ساختار مدار به هنگام روشن و یا خاموش بودن کلید نشان داده شده است.

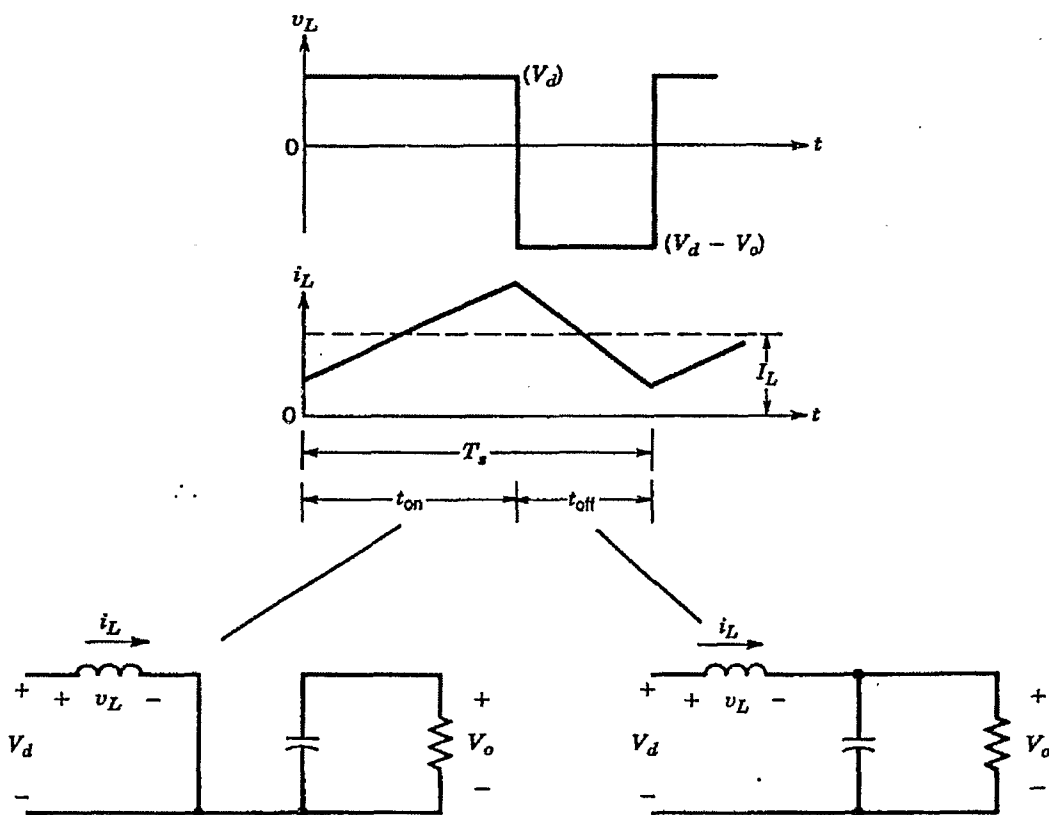
با توجه به این نکته که در حالت ماندگار انتگرال زمانی ولتاژ سلف در طول یک دوره تناوب باید

صفز باشد، می‌توان نوشت:

$$V_d t_{on} + (V_d - V_o) t_{off} = 0 \quad (۲-۱)$$

مقدار متوسط ولتاژ خروجی به این صورت بدست می‌آید:

$$V_o = V_d \frac{T_s}{t_{off}} = V_d \frac{1}{1-D} \quad (۳-۱)$$



شکل ۱-۴: ساختار چاپر افزاینده به هنگام خاموش و روشن بودن کلید [۱]

آنچه که از فرمول ارائه شده برای ولتاژ خروجی برمی‌آید و با نگاه صرف‌آریاضی، به نظر می‌آید که با کنترل سیکل کاری کلیدزنی حتی می‌توان به ضریب بهره‌های بسیار بالا هم دسترسی پیدا کرد ولی آنچه این پیش‌بینی را دور از دست می‌کند واقعیتی است که به فیزیک و ساختار عناصر واقعی بکار رفته در مدار دارد.

عناصر نیمه‌هادی قدرت احتیاج به زمان حداقلی جهت روشن شدن و خاموش شدن دارند. بنابراین سیکل کاری D فقط می‌تواند میان یک مقدار حداقل D_{min} و یک مقدار حداکثر D_{max} کنترل شود و در نتیجه مقادیر حداقل و حداکثر ولتاژ خروجی محدود می‌شوند. از طرفی فرکانس کلیدزنی چاپر نیز با ملاحظات ساختاری عناصر بکاررفته در مدار محدود می‌شود.

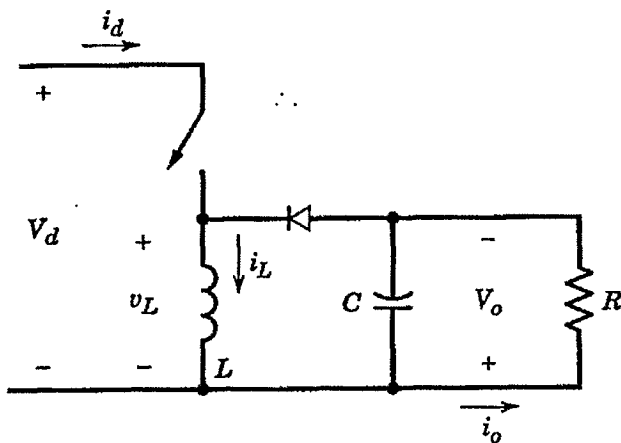
۱-۳: چند نمونه چاپر کاهنده-افزاینده

از آنجا که بنا است در این پایان‌نامه به معرفی ساختاری با قابلیت کاهنده‌گی و افزاینده‌گی ولتاژ بپردازیم، مروری اجمالی بر ساختار چند نمونه از چنین چاپرهایی می‌تواند روش‌نگر باشد.

۱-۳-۱: چاپر کاهنده- افزاینده

در شکل ۱-۵ ساختار ساده‌ای از یک چاپر کاهنده- افزاینده نشان داده شده است. در چنین

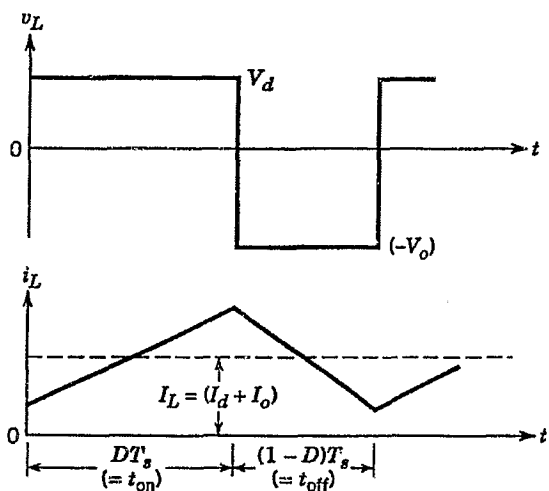
مداری ولتاژ خروجی می‌تواند مقداری کمتر یا بیشتر از ولتاژ ورودی داشته باشد. برای کاربردهایی که به محدوده وسیعتری از ولتاژ خروجی نیاز دارند، استفاده از چنین مداراتی رایج است.



شکل ۱-۵: ساختار چاپر کاهنده- افزاینده [۱]

یکی از معایب این ساختار، همانگونه که از شکل پیداست، آن است که قطبیت ولتاژ خروجی مخالف ولتاژ ورودی است. از همین روست که این مدار با نام چاپر معکوس کننده نیز شناخته می‌شود.
 [۲] طرز کار مدار را در دو حالت می‌توان بررسی کرد. i) در حالت اول کلید روشن و دیود خاموش است. جریان ورودی که در حال افزایش است از کلید و سلف می‌گذرد. ii) در حالت دوم کلید خاموش می‌شود و جریانی که از سلف می‌گذشت حالا از سلف و خازن و دیود و بار عبور می‌کند. انرژی ذخیره شده در سلف به بار منتقل می‌گردد و جریان سلف نزول می‌کند تا اینکه کلید دوباره در سیکل بعد روشن گردد. ساختار مدار در هر کدام از این حالات و شکل موج‌های جریان سلف و ولتاژ سلف به هنگام هدایت پیوسته^۱ سلف را می‌توان در شکل ۱-۶ مشاهده نمود.

^۱ Continuous Conduction Mode



شکل ۱-۶: ساختار چاپر کاهنده-افزاینده به هنگام خاموش و روشن بودن کلید [۱]

با توجه به شکل ۱-۶ و این واقعیت که مقدار متوسط ولتاژ سلف در حالت ماندگار و در طول

یک دوره تنابض صفر است، داریم:

$$V_d DT_s + (-V_o)(1 - D)T_s = 0 \quad (۴-1)$$

از ساده سازی رابطه (۴-۱) مقدار متوسط ولتاژ خروجی به این شکل قابل محاسبه است.

$$V_o = V_d \frac{D}{1 - D} \quad (۵-1)$$

به دلیل قرار گرفتن کلید در مسیر جریان ورودی استحصال یک جریان ناپیوسته در ورودی غیر

ممکن می‌نماید، که از این واقعیت می‌توان به عنوان عیبی دیگر برای چنین مداری یاد کرد.